

УДК 548.737

**НОВЫЕ МОЛЕКУЛЯРНЫЕ КОМПЛЕКСЫ ТРИМЕРА
ПЕРФТОР-ОРТО-ФЕНИЛЕНРТУТИ С ГЕТЕРОЦИКЛИЧЕСКИМИ СОЕДИНЕНИЯМИ**

© 2010 Н.А. Семенов¹, И.Ю. Багрянская^{1*}, А.В. Алексеев², Ю.В. Гатилов¹, Э. Лорк³,
Р. Мевс³, Г.-Ф. Роненталер³, А.В. Зибарев^{1,4}

¹Учреждение Российской академии наук Новосибирский институт органической химии им. Н.Н. Ворожцова СО РАН

²Учреждение Российской академии наук Институт неорганической химии им. А.В. Николаева СО РАН, Новосибирск

³Институт неорганической и физической химии Бременского университета, ФРГ

⁴Новосибирский государственный университет

Статья поступила 26 мая 2009 г.

Медленным испарением на воздухе раствора циклического тримера перфтор-ортотиофениленртути (**1**) и 2,1,3-бензотиадиазола (**2**) в ТГФ получен комплекс **1**·**2**₂·H₂O_{0,59} (**3**), в качестве примеси к которому обнаружен комплекс **1** с ди(тетрагидрофур-2-ил)овым эфиром (**4**; вероятно продукт окисления ТГФ) состава **1**·**4**₂ (**5**). Структура комплексов **3** и **5** установлена методом РСА. В комплексе **3** молекула **1** участвует во взаимодействиях Hg...N и π_F...H—C с одной молекулой **2** и в стэкинг-взаимодействии π_F...π_H — с другой. Комплекс **5** образован взаимодействиями Hg...O с участием обоих гетероциклов молекулы **4**.

Ключевые слова: гетероциклические соединения, полимеркуромакроцикли (антикрауны), молекулярные комплексы, рентгеноструктурный анализ, рентгенофазовый анализ.

ВВЕДЕНИЕ

Макроциклические полидентатные основания и кислоты Льюиса широко используются для молекулярного распознавания и связывания в виде комплексов соответственно катионов и анионов. Основания представлены, в частности, краун-эфирами, кислоты — перфторированными полимеркуромакроциклами, такими как циклический тример перфтор-ортотиофениленртути (**1**, схема 1). Для полимеркуромакроциклов предложено общее название антикрауны, поскольку по способности координировать ионы они — антиподы краун-эфиров [1, 2]. Помимо анионов антикрауны образуют комплексы с нейтральными молекулами, например, ароматических соединений [1—3]. Кристаллическая структура 1:1 комплексов антикрауна **1** с такими соединениями, в частности нафталином, состоит из стопок чередующихся молекул **1** и аrena [3].

Недавно нами синтезирована и структурно охарактеризована новая группа магнитноактивных веществ — соли сера-азотных гетероциклических π-анион-радикалов (в частности, [1,2,5]-тиадиазол[3,4-*c*][1,2,5]тиадиазолидила и 2,1,3-бензотиадиазолидила) [4—9], в том числе с катионами щелочных металлов (Li, Na, K), инкапсулированными в соответствующие краун-эфиры [7—9]. Интерес представляют также соли, в которых в отсутствие краун-эфира, координирующего катион, гетероциклический π-анион-радикал был бы координирован с антикрауном **1**. Поиск в Кембриджской базе структурных данных (КБСД) [10] показал, что комплексы

* E-mail: bagryan@nioch.nsc.ru

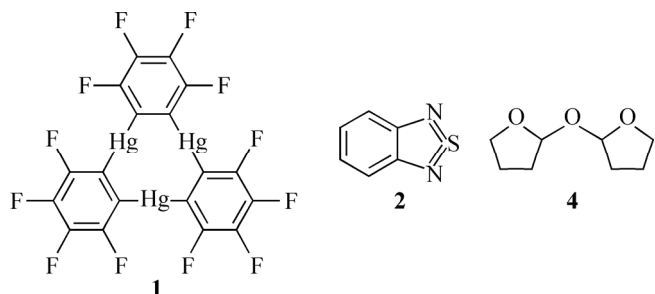


Схема 1

антикрауна **1** с гетероциклическими соединениями весьма редки, а S- и N-гетероциклы представлены в них лишь 4-фенилпиридином, карбазолом и его N-метилпроизводным, тетратиафульваленом, 1,3,5-тритианом и 1,4,7-тритиациклононаном [11—15].

В связи с этим нами предпринято модельное изучение комплексообразования соединения **1** с 2,1,3-бензотиадиазолом (**2**, схема 1) — 10 π -электронным гетероаналогом нафтилина, легко образующим стабильный анион-радикал [4]. Для координационной химии гетероцикла **2** (архетипа обширного класса веществ [16, 17]) работа имеет самостоятельное значение, так как данные представлены весьма слабо — в КБСД [10] найдено лишь 12 структур, в которых его молекула координирована атомом N с ионами Cu (10 соединений), Ag (1) и Ru (1).

ЭКСПЕРИМЕНТАЛЬНАЯ ЧАСТЬ

Соединения **1** [18] и **2** [19] синтезированы известными методами, ТГФ (99 % ОСЧ, A.C.S. reagent; $H_2O \leq 0,05\%$; пероксид $\leq 0,015\%$) получен от Aldrich и использован без очистки.

Раствор 0,523 г (0,5 ммоль) **1** и 0,136 г (1 ммоль) **2** в 5 мл ТГФ выпаривали досуха на воздухе при комнатной температуре в течение 5—20 дней (в разных экспериментах). Комплекс **3** получен в виде бесцветных кристаллов с количественным выходом. Термически комплекс **3** стабилен до 99—100 °C, затем разлагается с образованием жидкой и твердой фаз.

Бесцветные кристаллы комплекса **5** обнаружены как минорная примесь к комплексу **3**, полученному в наиболее длительных экспериментах.

Рентгеноструктурный эксперимент (см. таблицу) выполнен на четырехкружном дифрактометре Bruker P4 для комплекса **3** и на дифрактометре Bruker Карра Арекс II с двухкоординатным CCD-детектором для комплекса **5** с использованием 2θ/ω- и ω—φ-сканирования соответственно. Структуры расшифрованы прямым методом и уточнены полноматричным МНК в анизотропном приближении (кроме атомов H) по программе SHELXL-97 [20]. Положения атомов H локализованы геометрически и уточнены в модели наездника. Их параметры рассчитывали в каждом цикле уточнения по координатам соответствующих атомов C. В комплексе **3** атомы H молекулы H_2O локализовать не удалось. Геометрические параметры всех молекул соответствуют среднестатистическим величинам [21]. Анализ межмолекулярных взаимодействий проведен с использованием программ PLATON [22] и MERCURY [23]. Рентгеноструктурные данные депонированы в КБСД как CCDC 727765 (**3**) и CCDC 727764 (**5**).

Рентгенографический эксперимент выполнен на автоматизированном порошковом дифрактометре ДРОН-3М ($R = 192$ мм, CuK_{α} -излучение, Ni-фильтр, сцинтилляционный детектор с амплитудной дискриминацией, щели Соллера на первичном и отраженном пучках $2,5^\circ$) для углов 2θ 5—40° с шагом сканирования 0,02°. Для приготовления образцов исходный порошок тщательно растирали в агатовой ступке и насевали на гладкую сторону стандартной кварцевой кюветы, покрытую тонким слоем силиконовой вакуумной смазки. Рентгенофазовый анализ проведен с помощью КБСД [24].

РЕЗУЛЬТАТЫ И ИХ ОБСУЖДЕНИЕ

Медленное испарение на воздухе раствора соединений **1** и **2** в мольном соотношении 1:2 привело к образованию кристаллического комплекса **1**·**2**· $H_2O_{0,59}$ (**3**), строение которого

Кристаллохимические данные для комплексов **3** и **5**

Соединение	3	5
Формула	$C_{18}F_{12}Hg_3+2(C_6H_4N_2S)+0,59(H_2O)$	$C_{18}F_{12}Hg_3+2(C_8H_{14}O_3)$
Молекулярная масса	1327,75	1362,33
Температура, К	173(2)	173(2)
Длина волны, Å	0,71073	0,71073
Сингония	Моноклинная	Моноклинная
Пространственная группа	$C2/c$	$C2/c$
$a, b, c, \text{Å}$	36,582(11), 10,666(2), 17,482(4)	14,933(3), 13,574(3), 18,563(4)
β , град.	115,87(4)	97,282(10)
Объем, Å^3	6138(3)	3732,4(14)
Z	8	4
d_x , г/см ³	2,874	2,424
Коэффициент поглощения, мм^{-1}	15,214	12,413
$F(000)$	4806	2512
Размер кристалла, мм	0,35×0,20×0,15	0,25×0,10×0,02
Диапазон θ , град.	2,53 – 27,50	2,0 – 25,5
Диапазон индексов	$-47 \leq h \leq 47, -13 \leq k \leq 13,$ $-20 \leq l \leq 20$	$-17 \leq h \leq 18, -11 \leq k \leq 16,$ $-22 \leq l \leq 22$
Число отраж. / независ. отражений	15122 / 6796 [$R(\text{int}) = 0,0567$]	22467 / 3447 [$R(\text{int}) = 0,042$]
Полнота данных по θ , %	96,4	98,9
Коррекция поглощения	Эмпирическая	SADABS
Добротность по F^2	1,02	0,87
R [$I > 2\sigma(I)$]	$R1 = 0,0454, wR2 = 0,0919$	$R1 = 0,0268, wR2 = 0,0687$
R (все данные)	$R1 = 0,0877, wR2 = 0,1047$	$R1 = 0,0430, wR2 = 0,0806$
Макс. / мин. дифф. электронной плотности, е/Å ³	1,860 / -2,596	1,16 / -0,70

подтверждено РСА (см. таблицу). Источником воды для **3**, вероятно, была атмосфера. По данным РФА **3** является основным продуктом. В качестве миорной примеси к **3**, однако, обнаружены кристаллы 1:2 комплекса **1** с ди(тетрагидрофур-2-ил)овым эфиром (**4**, схема 1) [25], строение которого установлено РСА (соединение **5**, см. таблицу). Образование **4** связано, по-видимому, с окислением ТГФ на воздухе, возможно, катализируемым антикрауном **1** (катализитические свойства **1** активно изучаются [1]). Отметим, что комплекс **1** с ТГФ неизвестен [10], лишь в 1:1 комплексе **1** с карбазолом, полученном из этого растворителя, молекулы ТГФ входят в кристаллическую решетку, образуя водородные связи O...H—N с молекулами карбазола и не взаимодействуя с **1** [14].

При испарении раствора **1** и **2** в мольном соотношении 1:1 в ТГФ (или в CH_2Cl_2 , т.е. в условиях образования комплекса **1** с нафтилином [3]) кристаллы, пригодные для РСА, не были получены. В случае испарения раствора в ТГФ РФА мелкокристаллического остатка показал, что он не является ни смесью индивидуальных соединений **1** (учитывали четыре известных полиморфа [10]) и **2** [26], ни смесью комплекса **3** с индивидуальным **2**. Вероятно, продукт представляет собой молекулярный комплекс **1** и **2**, не идентичный **3**, и в этом направлении целесообразна дальнейшая работа.

Кристаллическая упаковка комплекса **3** характеризуется большим числом сокращенных по сравнению с суммой соответствующих ван-дер-ваальсовых радиусов межмолекулярных контактов, приводящих к сложной трехмерной архитектуре (рис. 1). В частности, молекулы **1** связаны в бесконечные цепи межмолекулярными контактами C—F...π_F с расстоянием между атомами F и центроидами фениленовых групп, варьирующимся в интервале 3,21—3,50 Å.

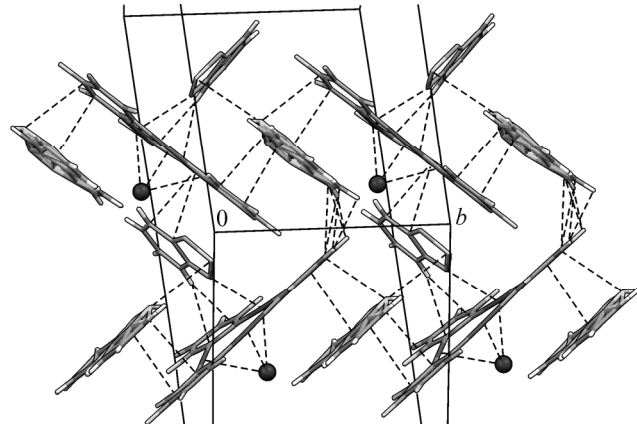


Рис. 1. Кристаллическая упаковка комплекса 3.
Штрихами показаны сокращенные межмолекулярные контакты

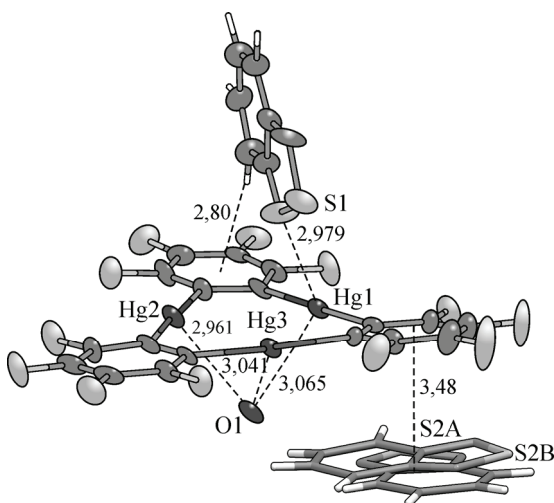


Рис. 2. Структура комплекса 3

В комплексе 3 молекула 1 связана в общем случае с молекулой H_2O и двумя молекулами гетероцикла 2 (рис. 2). Одна из них разупорядочена по двум положениям в соотношении 0,41:0,59 — молекулы А и В соответственно, для которых на рис. 2 указаны атомы S2A и S2B. В тех случаях, когда молекула 2 занимает положение А со статистическим весом 0,41, в кристалл 3 входит молекула H_2O с весом 0,59. Атом О молекулы H_2O координирован со всеми тремя атомами Hg 1, расстояния O...Hg приведены на рис. 2. С противоположной стороны плоскости молекулы с 1 координирована молекула 2 как *n*-донорный лиганд, расстояние N...Hg 2,98(1) Å (см. рис. 2). Этот контакт сопровождается взаимодействием C—H... π_F : один из атомов Н молекулы 2 взаимодействует с π -системой ближайшей фениленовой группы 1 (см. рис. 2) с расстоянием H...центроид кольца 2,80 Å. С той же стороны, что молекула H_2O , с 1 координирована вторая молекула 2, разупорядоченная по двум положениям (см. рис. 2; в такие контакты вовлечены обе фениленовые группы 1, не участвующие во взаимодействии C—H... π_F ; на рисунке контакт показан лишь для одной из них). Геометрические характеристики контакта типичны для π -стэкинга полифтораренов с аренами — интересного структурного явления, физическая природа которого связана с дисперсионными и мультипольными взаимодействиями (см., например, [27—34] и ссылки в них). Плоскости 1 и 2 практически параллельны. Расстояния от центроидов фторированных колец до плоскостей, в которых лежат все неводородные атомы разупорядоченных молекул 2, составляют ~3,48 Å, межцентроидные расстояния находятся в диапазоне 3,50—3,90 Å (см. рис. 1, 2). Поскольку в $\pi_F\dots\pi_H$ -стэкинг-взаимодействие вовлечены молекулы в обеих ориентациях А и В (см. рис. 2), то оно не зависит от присутствия (отсутствия) молекулы H_2O , т.е. не является вынужденным, обусловленным тем, что H_2O исключает координацию 2 с атомами Hg с этой стороны молекулярной плоскости 1. Структурное разупорядочение сера-азотных гетероциклов в условиях $\pi_F\dots\pi_H$ -стэкинг-взаимодействия с полифтораренами наблюдалось нами ранее [34]. Отметим также, что в 1:1 комплексе 1 с нафталином $\pi_F\dots\pi_H$ -стэкинг-взаимодействие не обнаружено — компоненты комплекса связаны взаимодействиями Hg... π_H [3].

Согласно КБСД [10] комплекс 5 — первый пример координационного соединения эфира 4. В кристалле 5 молекула 1 и две молекулы 4 образуют тримеры, связанные между собой межмолекулярными контактами C—F... π_F с расстояниями между атомами F и центроидами колец ~3,43 Å (рис. 3). В независимой части элементарной ячейки находятся половины молекулы 1, через которую проходит ось C_2 , и молекула эфира 4 (рис. 4). Атомы О обоих гетероциклов эфира 4 координированы с атомами Hg антикрауна 1 (см. рис. 4). При этом атом О одного гетеро-

цикла координирован с двумя атомами Hg (и эти контакты длиннее), а другого — с одним атомом Hg (и этот контакт короче, см. рис. 4).

Таким образом, в настоящей работе описаны два новых молекулярных комплекса **3** и **5** антикрауна **1** с гетероциклическими соединениями. Комплекс **3** — первый пример координационного соединения, образованного гетероциклом **2** с производным Hg. Одновременно наблюдаемые в комплексе **3** два типа координации молекул **2** (σ и π) — явление довольно редкое. Комплекс **5** — первый пример координационного соединения эфира **4**. Отметим, что этот эфир, препаративно легко доступный [25, 35, 36], может представить интерес как растворитель и(или) лиганд в химии металлоорганических и координационных соединений.

Авторы благодарны DFG (проект 436 RUS 113/967/0-1R), Российскому фонду фундаментальных исследований (проект 09-03-00361), Президиуму РАН (проект 18.17) и СО РАН (интеграционный проект № 105) за финансовую поддержку их работы.

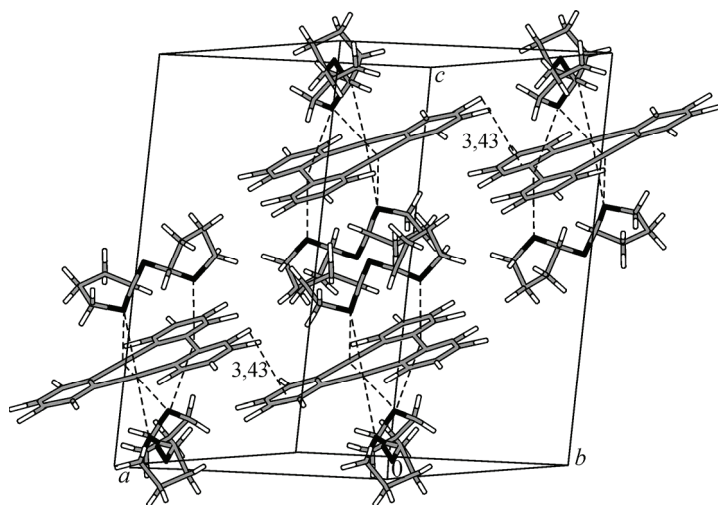


Рис. 3. Кристаллическая упаковка комплекса **5**. Штрихами показаны сокращенные межмолекулярные контакты

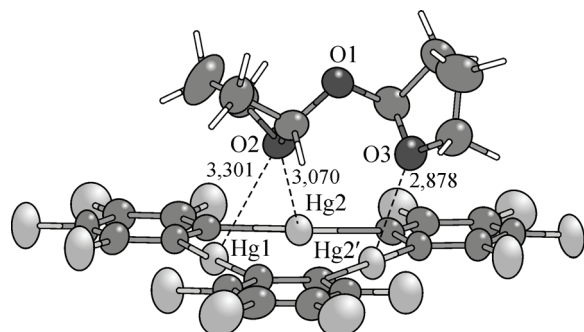


Рис. 4. Структура комплекса **5** (см. текст)

СПИСОК ЛИТЕРАТУРЫ

1. Шур В.Б., Тихонова И.А. // Изв. АН. Сер. Хим. – 2003. – С. 2401 – 2416.
2. Shur V.B., Tikhonova I.A. // Encyclopedia of Supramolecular Chemistry / Eds. J.L. Atwood, J.W. Steed. – N. Y.: Marcel Dekker, 2004.
3. Haneline M.R., Tsunoda M., Gabbai F.P. // J. Amer. Chem. Soc. – 2002. – **124**. – P. 3737 – 3742.
4. Konchenko S.N., Gritsan N.P., Lonchakov A.V. et al. // Mendeleev Commun. – 2009. – **19**. – P. 7 – 9.
5. Konchenko S.N., Gritsan N.P., Lonchakov A.V. et al. // Eur. J. Inorg. Chem. – 2008. – P. 3833 – 3838.
6. Gritsan N.P., Lonchakov A.V., Lork E. et al. // Ibid. – P. 1994 – 1998.
7. Bagryanskaya I.Yu., Gatilov Yu.V., Gritsan N.P. et al. // Ibid. – 2007. – P. 4751 – 4761.
8. Ikorskii V.N., Irtegov I.G., Lork E. et al. // Ibid. – 2006. – P. 3061 – 3067.
9. Makarov A.Yu., Irtegov I.G., Vasilieva N.V. et al. // Inorg. Chem. – 2005. – **44**. – P. 7194 – 7199.
10. Cambridge Structural Database, Version 5.30 (November 2008; updates February 2009). – University of Cambridge, UK.
11. Ball M.C., Brown D.S., Massey A.G., Wickens D.A. // J. Organomet. Chem. – 1981. – **206**. – P. 265 – 277.
12. Haneline M.R., Gabbai F.P. // C. R. Chim. – 2004. – **7**. – P. 871 – 876.
13. Burress C.N., Elbjeirami O., Omary M.A., Gabbai F.P. // J. Amer. Chem. Soc. – 2005. – **127**. – P. 12166 – 12167.
14. Burress C.N., Gabbai F.P. // Heteroatom Chem. – 2007. – **18**. – P. 195 – 201.
15. Tikhonova I.A., Tugashov K.I., Dolgushin F.M. et al. // Organometallics. – 2007. – **26**. – P. 5193 – 5198.
16. Ulrich H. // Methoden der Organischen Chemie (Houben-Weyl). – Stuttgart: Thieme, 1994. – **E8d**. – S. 170 – 180.

17. Weinstock L.M., Shinkai I. // Comprehensive Heterocyclic Chemistry I. – Oxford: Pergamon Press, 1984. – 6. – P. 513 – 543.
18. Sartori P., Golloch A. // Chem. Ber. – 1968. – **101**. – P. 2004 – 2009.
19. Зибарев А.В., Фугаева О.М., Миллер А.О. и др. // Хим. гетероцикл. соед. – 1990. – С. 1124 – 1133.
20. Sheldrick G.M. // SHELX-97 – Programs for Crystal Structure Analysis (Release 97-2). – University of Göttingen, Germany. – 1997.
21. Allen F.H., Kenard O., Watson D.G. et al. // J. Chem. Soc., Perkin Trans. II. – 1987. – P. S1 – S19.
22. Spek A.L. // J. Appl. Crystallogr. – 2003. – **36**. – P. 7 – 13.
23. Macrae C.F., Edgington P.R., McCabe P. et al. // Ibid. – 2006. – **39**. – P. 453 – 457.
24. Allen F. // Acta Crystallogr. B. – 2002. – **58**. – P. 380 – 388.
25. Paul R., Normant H. // Bull. Soc. Chim. France. – 1938. – **5**. – P. 1148 – 1153.
26. Suzuki T., Tsuji T., Okubo T. et al. // J. Org. Chem. – 2001. – **66**. – P. 8954 – 8960.
27. Dunitz J.R., Gavezzotti A., Schweizer W.B. // Helv. Chim. Acta. – 2003. – **86**. – P. 4073 – 4092.
28. Tsuzuki S., Honda K., Uchimaru T. et al. // J. Amer. Chem. Soc. – 2002. – **124**. – P. 104 – 112.
29. Sinnokrot M.O., Valeev E.F., Sherill C.D. // Ibid. – P. 10877 – 10893.
30. Lorenzo S., Lewis G.R., Dance I. // New J. Chem. – 2000. – **24**. – P. 295 – 304.
31. Bagryanskaya I.Yu., Gatilov Yu.V., Lork E. et al. // J. Fluorine Chem. – 2006. – **127**. – P. 746 – 754.
32. Makarov A.Yu., Lork E., Mews R., Zibarev A.V. // Ibid. – P. 437 – 442.
33. Bagryanskaya I.Yu., Gatilov Yu.V., Maksimov A.M. et al. // Ibid. – 2005. – **126**. – P. 1281 – 1287.
34. Bagryanskaya I.Yu., Gatilov Yu.V., Lork E. et al. // Ibid. – 2002. – **116**. – P. 149 – 156.
35. Kruse C.G., Jonkers F.L., Dert V., Van der Gen A. // Rec. Trav. Chim. – 1979. – **98**. – P. 371 – 380.
36. Fisher R., Frank J., Merger F., Weyer H.J. // European Patent 388868 A2. – 1990.